

УДК 546.96:546.02:544.342

**ИССЛЕДОВАНИЕ ЗАМЕЩЕНИЯ ЛИГАНДОВ
В ГЕТЕРОМЕТАЛЛИЧЕСКИХ Ru/Zn КОМПЛЕКСАХ МЕТОДОМ ^{31}P ЯМР**

© 2011 Г.А. Костин^{1,2*}, А.О. Бородин¹, С.В. Ткачев¹, Н.В. Курачева^{1,2}

¹Учреждение Российской академии наук Институт неорганической химии им. А.В. Николаева СО РАН,
Новосибирск

²Новосибирский государственный университет

Статья поступила 26 мая 2010 г.

С доработки — 21 февраля 2011 г.

На основании данных ^{31}P ЯМР проведено количественное описание равновесий в системе $[\text{RuNO}(\text{NO}_2)_4\text{OHZn}(\text{TФФО})_3]$ —Ру и определены константы равновесий диссоциации исходного комплекса и замещения органического лиганда. Установлено, что устойчивость гетерометаллических комплексов возрастает при переходе от ТФФО к пиридину. Структурно охарактеризован смешанно-лигандный комплекс $[\text{RuNO}(\text{NO}_2)_4\text{OHZn}(\text{TФФО})_2\text{Py}]$ и показано, что первой замещается молекула ТФФО, находящаяся в *транс*-положении к μ_2 -мостиковой гидроксо-группе.

Ключевые слова: рутений, цинк, гетерометаллические комплексы, замещение лигандов, структурный анализ.

Ранее нами был синтезирован ряд гетерометаллических комплексов $[\text{RuNO}(\text{NO}_2)_4\text{OHML}_3]$ ($M = \text{Co}, \text{Ni}, \text{Zn}, \text{Cu}$; $L = \text{трифенилfosфиноксид (TФФO), пиридин (Py)}$) [1–3] и показано, что некоторые из этих соединений могут служить прекурсорами для получения гетерометаллических порошков [2]. Поскольку одним из ключевых факторов при нанесении прекурсоров на носители из раствора является их устойчивость, в продолжение этих исследований в настоящей работе были охарактеризованы равновесия диссоциации и замещения лигандов в системе $[\text{RuNO}(\text{NO}_2)_4\text{OHM}(\text{TФФO})_3]$ —Ру.

ЭКСПЕРИМЕНТАЛЬНАЯ ЧАСТЬ

Все реагенты и растворители, использованные в работе, были квалификации не ниже ХЧ. Соединения $\text{Na}_2[\text{RuNO}(\text{NO}_2)_4\text{OH}] \cdot 2\text{H}_2\text{O}$ и $[\text{RuNO}(\text{NO}_2)_4\text{OHZn}(\text{TФФO})_3]$ синтезировали по описанным ранее методикам [1, 4]. Для проведения ЯМР эксперимента точную навеску $[\text{RuNO}(\text{NO}_2)_4\text{OHZn}(\text{TФФO})_3]$ растворяли в заданном объеме CH_2Cl_2 или свежеприготовленного раствора пиридина в CH_2Cl_2 . ЯМР спектры снимали в течение 30 мин после растворения навески.

Синтез $[\text{RuNO}(\text{NO}_2)_4\text{OHZn}(\text{TФФO})_2\text{Py}]$. Навески $\text{Zn}(\text{NO}_3)_2 \cdot 6\text{H}_2\text{O}$ (29,3 мг, 10^{-4} моль), $\text{Na}_2[\text{RuNO}(\text{NO}_2)_4\text{OH}] \cdot 2\text{H}_2\text{O}$ (41,2 мг, 10^{-4} моль) и ТФФО (83,8 мг, $3 \cdot 10^{-4}$ моль) перемешивали в течение 15 мин в 2 мл CH_2Cl_2 . После отделения осадка NaNO_3 к полученному раствору добавляли 0,17 мл 0,8 М раствора пиридина в CH_2Cl_2 и перемешивали в течение 30 мин. После добавления к этому раствору 5 мл гептана получили 54 мг желтого мелкоциркулярного осадка (52,3 %).

Для $\text{C}_{41,5}\text{H}_{37}\text{Cl}_1\text{N}_6\text{O}_{12}\text{P}_2\text{Zn}_1\text{Ru}_1$ вычислено, %: C 46,3, H 3,4, N 7,8. Найдено, %: C 46,6, H 3,7, N 7,7.

* E-mail: kostin@niic.nsc.ru

Кристаллографические параметры структуры [RuNO(NO₂)₄OHZn(TФФО)₂Py]·0,5CH₂Cl₂

Брутто-формула	C ₄₁ H ₃₆ N ₆ O ₁₂ P ₂ Ru ₁ Zn ₁ ·0,5CH ₂ Cl ₂
Молекулярный вес	1075,60
Сингония	Триклинная
Пространственная группа	P-1
<i>a</i> , <i>b</i> , <i>c</i> , Å	12,1144(4), 12,9141(3), 17,5800(6)
α, β, γ, град.	69,731(1), 80,031(1), 66,176(1)
<i>V</i> , Å ³	2358,4(1)
<i>Z</i>	2
<i>d</i> _{выч} , г/см ³	1,515
μ, мм ⁻¹	1,018
Диапазон сбора данных по θ, град.	1,84—25,68
Интервалы индексов отражений	-14 < <i>h</i> < 13, -15 < <i>k</i> < 15, -21 < <i>l</i> < 21
Число измерен. / независ. отражений / <i>R</i> _{int}	18710 / 8908 / 0,0216
Число уточняемых параметров	582
<i>R</i> ₁ / <i>wR</i> ₂ (<i>I</i> > 2σ)	0,0387 / 0,1173
<i>R</i> ₁ / <i>wR</i> ₂ (по всем отражениям)	0,0522 / 0,1249
GOOF	1,099
Δρ _{max} / Δρ _{min} , е·Å ⁻³	0,887 / -0,548
Размеры кристалла, мм	0,25×0,20×0,15
<i>T</i> , К	293

ИК (ω, см⁻¹): 3470 ν(OH), 1905 ν(NO), 1421, 1436 ν_{as}(NO₂), 1334, 1311 ν_s(NO₂), 1120 ν(PO), 823, 819 δ(NO₂).

Монокристалл соединения, пригодный для анализа, получен медленной диффузией гептана в раствор комплекса в хлористом метилене. Кристаллическая структура монокристалла, отобранного для рентгеноструктурного эксперимента, идентична строению массы образца по данным порошковой дифрактограммы.

Спектры ³¹P исследованных образцов сняты на спектрометре фирмы Bruker-MSL300 с рабочей частотой для фосфора 127,47 МГц. Использовали 90°-импульс длительностью 20 мкс и обратной связью от протонов. Задержка между возбуждающими импульсами равнялась 10 с, развертка — 25 кГц. Химические сдвиги в спектрах ЯМР ³¹P измеряли относительно внешнего стандарта — 85 % H₃PO₄. Положительные сдвиги соответствуют смещению сигнала в слабое поле. Дифракционные измерения проводили на автоматическом дифрактометре Bruker Nonius X8 Apex CCD при температуре 100 К (MoK_α-излучение, графитовый монохроматор, φ, ω-сканирование). Поглощение учтено с помощью комплекса программ SADABS [5]. Структуры расшифрованы прямым методом и уточнены полноматричным МНК по комплексу программ SHELXTL [5]. Положение атомов водорода вычислено геометрически и уточнено в изотропном приближении. Кристаллографические данные приведены в таблице. Структура комплекса депонирована в CCDC (№ 776165).

РЕЗУЛЬТАТЫ И ИХ ОБСУЖДЕНИЕ

Диссоциация комплекса [RuNO(NO₂)₄OHZn(TФФО)₃]. Независимо от концентрации в ³¹P ЯМР спектрах растворов [RuNO(NO₂)₄OHZn(TФФО)₃] в хлористом метилене наблюдается один сигнал от атомов фосфора, однако положение этого сигнала (полуширина линий находится в диапазоне от 70 до 120 Гц) сдвигается в сильное поле от 35,5 до 32 м.д. при разбавлении раствора (рис. 1). В то же время в спектрах растворов чистого лиганда положение сигнала (28,7 м.д.) и полуширина линии (30 Гц) не зависят от концентрации ТФФО ($1,5 \cdot 10^{-4}$ М—0,2 М). Исходя из этого можно заключить, что изменения в спектрах растворов комплекса свидетель-

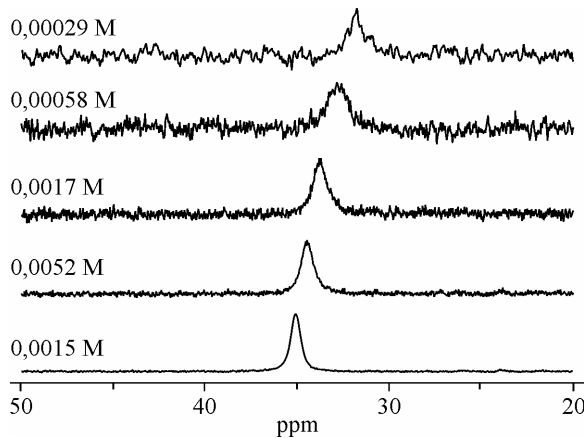


Рис. 1. Изменения в спектрах ^{31}P ЯМР в зависимости от концентрации $[\text{RuNO}(\text{NO}_2)_4\text{OHZn}(\text{TFFO})_3]$

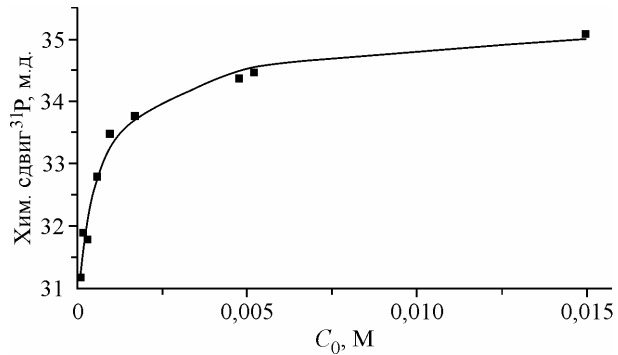


Рис. 2. Экспериментальная и расчетная (сплошная линия) зависимость химического сдвига от концентрации Ru/Zn комплекса

ствуют о наличии быстрого обмена между координированными молекулами ТФФО и свободными, образующимися при диссоциации комплекса в растворе. Данный обмен может быть описан следующими уравнениями:



и



которые характеризуются концентрационными константами K_{1d} и K_{2d} соответственно.

В предположении, что химический сдвиг координированных молекул ТФФО одинаков для всех комплексных форм, его усредненное значение определяется выражением $\delta_{cp} = \delta_k \cdot (1 - X_{cb}) + \delta_{cb} \cdot X_{cb}$, где δ_k и δ_{cb} — химический сдвиг для координированной и свободной молекулы ТФФО соответственно; $X_{cb} = [L]/3C_0$ — мольная доля некоординированного ТФФО. Исходя из уравнений материального баланса по металлу (формы $[\text{RuNO}(\text{NO}_2)_4\text{OHZn}(\text{TFFO})_n]$ обозначены как ML_n)

$$C_0 = [ML_3] + [ML_2] + [ML] = [ML_3](1 + K_{1d}/[L] + K_{1d} \cdot K_{2d}/[L]^2) \quad (3)$$

и лиганду

$$3C_0 = 3[ML_3] + 2[ML_2] + [ML] + [L] = [L] + [ML_3](3 + 2K_{1d}/[L] + K_{1d} \cdot K_{2d}/[L]^2), \quad (4)$$

равновесная концентрация $[L]$ в неявном виде задается уравнением

$$\frac{3C_0 - [L]}{C_0} = \frac{3[L]^2 + 2K_{1d}[L] + K_{1d} \cdot K_{2d}}{[L]^2 + K_{1d}[L] + K_{1d}K_{2d}} \quad (5)$$

и зависит только от исходной концентрации C_0 и констант равновесия реакций (1) и (2).

Определение δ_k , K_{1d} и K_{2d} проводили, минимизируя сумму среднеквадратичных отклонений $(\delta_{cp}^{\text{ЯМР}} - \delta_{cp}^{\text{расч}})^2$ нелинейным МНК. В качестве начальной итерации для параметров δ_k и K_{1d} были использованы величины, полученные из линейной аппроксимации $(\delta_{cp} - \delta_{cb}) = a - b/\sqrt{C_0}$, где $a = (\delta_k - \delta_{cb})$, $b = (\delta_k - \delta_{cb}) * \sqrt{K_{1d}}/3$, аналогично [6] и в приближении малой степени диссоциации комплекса ML_3 . Начальное значение K_{2d} принято равным начальному значению K_{1d} .

Рассчитанные значения $\delta_k = 35,5$ м.д., $K_{1d} = 4,3 \cdot 10^{-4}$, $K_{2d} = 2,0 \cdot 10^{-3}$ хорошо описывают зависимость δ_{cp} от C_0 — отклонения расчетных химических сдвигов от экспериментальных для всех точек не превышают 0,2 м.д. (рис. 2). Разница между величиной химического сдвига свободного лиганда и ТФФО в составе комплексов ML_n составляет 6,8 м.д., что характерно для нейтральных комплексов ТФФО с "мягкими" донорами [6—8]. Для ионных комплексов с ме-

таллами $[Zn(R_3PO_4)(ClO_4)_2]$ или сильными кислотами $R_3POH^+X^-$ изменения химического сдвига в спектрах ^{31}P превышают 20 м.д. [6].

Согласно данным рентгеноструктурного анализа [1], в исходном комплексе Zn^{2+} находится в искаженно-октаэдрическом окружении атомов кислорода трех групп PO, двух N,O мостиковых групп NO_2 и μ_2 мостиковой гидроксогруппы. Диссоциация с образованием форм $[RuNO(NO_2)_4OHZn(TFFO)_n]$ ($n = 1, 2$) должна сопровождаться понижением координационного числа Zn^{2+} . Вероятно, с этим связано увеличение последовательных констант диссоциации ($K_{1d} < K_{2d}$) при образовании формы $[RuNO(NO_2)_4OHZn(TFFO)]$ с координационным числом Zn^{2+} , равным 4.

Константы диссоциации для процесса



(TFO — триоктилфосфиноксид; M = Cu, Co, Zn), рассчитанные на основании данных [9] об экстракции гетерометаллических комплексов в гептан, находятся в диапазоне $(1,5—2,8) \cdot 10^{-2}$, что на два порядка выше величины K_{1d} , полученной в данной работе. Различие может быть связано как с изменением полярности растворителя, так и с изменением донорных свойств лиганда.

Равновесия замещения лигандов в системе $[RuNO(NO_2)_4OHMn(TFFO)_3] - [RuNO \times (NO_2)_4OHZnPy_3]$. При добавлении пиридина в раствор $[RuNO(NO_2)_4OHMn(TFFO)_3]$ сигнал в спектре ^{31}P смещается в сторону сильного поля и при 200-кратном молярном избытке пиридина практически совпадает со спектром свободного лиганда как по положению, так и по ширине линии. По аналогии с вышеизложенным, подобное изменение ЯМР спектров может быть описано тремя последовательными реакциями замещения:



с концентрационными константами равновесия $K_1—K_3$. Обработку экспериментальной зависимости $\delta_{cp} — C_{Py}$ проводили нелинейным МНК с учетом равновесий (1), (2) и величин δ_k , K_{1d} , K_{2d} , определенных ранее. Рассчитанные значения ($K_1 = 29,0$, $K_2 = 1,1$, $K_3 = 0,13$) описывают экспериментальную кривую с отклонениями расчетных химических сдвигов от экспериментальных не выше 0,3 м.д. (рис. 3). Вклад равновесий диссоциации (1) и (2) в материальный баланс не превышает 10 % при $C_{Py} < 0,5C_0$, при $C_{Py} > C_0$ влиянием диссоциации исходного комплекса можно пренебречь. Значение общей константы замещения трех молекул TFFO на три молекулы пиридина ($\beta_3 = K_1 \cdot K_2 \cdot K_3 = 4,2 > 1$) свидетельствует о том, что образование гетерометалличес-

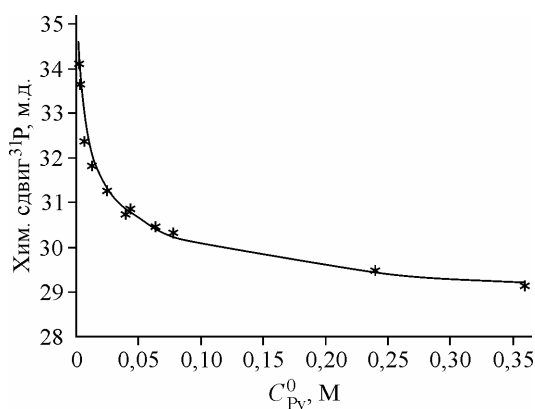


Рис. 3. Экспериментальная и расчетная (сплошная линия) зависимость химического сдвига от концентрации пиридина в системе $[RuNO(NO_2)_4 \times OHZn(TFFO)_3]$

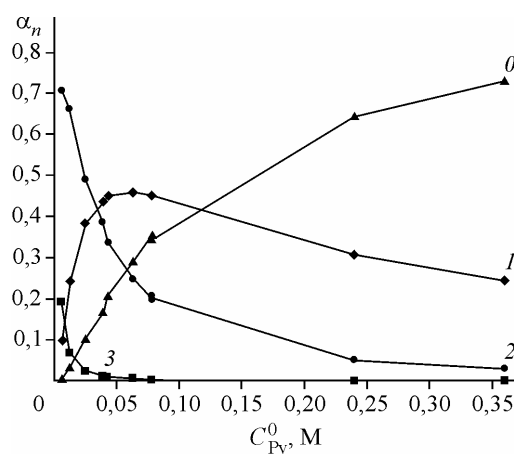


Рис. 4. Доля комплексных форм $[RuNO(NO_2)_4 \times OHZn(TFFO)_nPy_{3-n}]$ ($n = 0—3$ соответствует кривым на рисунке) в зависимости от концентрации пиридина

Рис. 5. Строение смешанно-лигандного комплекса $[\text{RuNO}(\text{NO}_2)_4 \times \times \text{OHZn}(\text{TФФO})_2\text{Py}]$. Атомы водорода не показаны

ских комплексов RuZnL_3 более выгодно в случае пиридина.

Наличие полного набора констант $K_1—K_3$ позволяет оценить относительную долю α_n каждой из форм $[\text{RuNO}(\text{NO}_2)_4 \times \times \text{OHZn}(\text{TФФO})_n\text{Py}_{3-n}]$ ($n = 0—3$) в общей концентрации в зависимости от концентрации пиридина (рис. 4). Форма с $n = 2$ доминирует в растворе (до 70 %) в узком интервале концентраций при $C_{\text{Py}}/C_0 \approx 1$ и может быть выделена в виде индивидуальной твердой фазы при осаждении небольшим количеством диэтилового эфира. При 10-кратном избытке пиридина по отношению к комплексу преобладает форма $[\text{RuNO}(\text{NO}_2)_4\text{OHZn}(\text{TФФO})\text{Py}_2]$ (около 40 %), присутствующая в растворе вместе с $[\text{RuNO} \times \times (\text{NO}_2)_4\text{OHZn}(\text{TФФO})_2\text{Py}]$ и $[\text{RuNO}(\text{NO}_2)_4\text{OHZn}\text{Py}_3]$. Однако выделить форму с $n = 1$ в виде отдельной фазы не удалось — согласно данным элементного анализа и РФА при осаждении диэтиловым эфиром или гептаном из растворов с $C_{\text{Py}}/C_0 = 10—15$ образуется только комплекс с тремя молекулами пиридина, что может быть обусловлено его меньшей растворимостью. Вклад формы с $n = 0$ в материальный баланс становится существенным (> 10 %) при 6-кратном мольном избытке пиридина, при $C_{\text{Py}}/C_0 > 100$ форма $[\text{RuNO}(\text{NO}_2)_2\text{OHZn}\text{Py}_3]$ доминирует в растворе (> 90 %).

Структура смешанно-лигандного комплекса $[\text{RuNO}(\text{NO}_2)_2\text{OHZn}(\text{TФФO})_2\text{Py}]$. Согласно данным РСА (рис. 5), первая молекула пиридина замещает молекулу ТФФО, находящуюся в *транс*-положении по отношению к мостиковой гидроксо-группе. Как и в комплексах с тремя одинаковыми лигандами (ТФФО или пиридин), для цинка реализуется тип координации 4+2 с тетраэдрическим искажением полиэдра. Короткие расстояния ($\text{Zn}—\text{N}$, $\text{Zn}—\text{OH}$, $\text{Zn}—\text{OP}$) лежат в диапазоне 2,011(2)—2,063(4) Å, длины связей $\text{Zn}—\text{ONO}$ составляют 2,354(2) и 2,295(1) Å, центральные углы при атоме цинка $\text{L}—\text{Zn}—\text{L}$ (L — органический лиганд) больше 90° (93,6(1)—98,4(1)°). Длины связей $\text{Zn}—\text{OP}$ (2,021(2) и 2,042(2) Å) несколько больше, чем в комплексе с тремя молекулами ТФФО (1,995 Å), тогда как связь $\text{Zn}—\text{N}$ (2,063(4) Å) короче по сравнению с комплексом с тремя молекулами пиридина (2,120 Å). Расстояние $\text{Zn}—\text{Ru}$ в смешанно-лигандном комплексе (3,378(2) Å) промежуточное между таковыми для комплексов с одинаковыми лигандами (3,383 Å для комплекса с ТФФО и 3,376(4) Å — с пиридином).

ИК спектр $[\text{RuNO}(\text{NO}_2)_2\text{OHZn}(\text{TФФO})_2\text{Py}]$ косвенно подтверждает его смешанно-лигандное строение. При переходе от $[\text{RuNO}(\text{NO}_2)_2\text{OHZn}(\text{TФФO})_3]$ к смешанно-лигандному комплексу и далее к $[\text{RuNO}(\text{NO}_2)_2\text{OHZn}\text{Py}_3]$ частоты валентных колебаний нитрозо- (1894, 1905, 1909 cm^{-1}) и гидроксо-группы (3464, 3470, 3481 cm^{-1}) рутениевого фрагмента монотонно возрастают. В области характеристических колебаний бензольных колец в ИК спектре смешанно-лигандного комплекса присутствуют две полосы, соответствующие ТФФО (1589 cm^{-1}) и пиридину (1608 cm^{-1}), положения которых близки к таковым в спектрах фосфиноксидного (1591 cm^{-1}) и пиридинового (1609 cm^{-1}) комплексов.

СПИСОК ЛИТЕРАТУРЫ

1. Kostin G., Borodin A., Emelyanov V. et al. // J. Mol. Struct. — 2007. — **837**. — P. 63.
2. Костин Г.А., Бородин А.О., Шубин Ю.В. и др. // Координац. химия. — 2009. — **35**, № 1. — С. 57.
3. Костин Г.А., Бородин А.О., Куратьева Н.В. // Журн. структур. химии. — 2010. — **51**, № 3. — С. 598.
4. Звягинцев О.Е., Синицын Н.М., Пичков В.Н. // Радиохимия. — 1964. — **6**. — С. 619.
5. Bruker AXS Inc. (2004). APEX2 (Version 1.08), SAINT (Version 7.03), SADABS (Version 2.11) and SHELXTL (Version 6.12). Bruker Advanced X-ray Solutions. — Madison, Wisconsin, USA.
6. Zeldin M., Mehta P., Vernon V. // Inorg. Chem. — 1979. — **18**, N 2. — P. 463.
7. Grim S.O., Satek L.C., Tolman C.A., Jesson J.P. // Inorg. Chem. — 1975. — **14**. — P. 656.
8. Grim S.O., Satek L.C. // J. Coord. Chem. — 1976. — **6**. — P. 39.
9. Торгов В.Г., Шульман Р.С., Стоянов Е.С. и др. // Журн. неорган. химии. — 2003. — **48**, № 6. — С. 1024.

